

早稲田大学 理工学部 正員 森 麟
 同大学院 学生員 赤木 寛一
 同大学院(現 大成建設) 正員 ○小松 寛

1. まえがき

軟弱な粘性土層がかなりの割合で分布しているような地盤に開削工事を行った場合、その周辺地盤に長期にわたる沈下が発生し、近接構造物に有害な影響を与えることがある。この長期的な沈下の要因として地下水面の低下による圧密などを一般には考へるが、掘削に伴うせん断変形で生じた乱れに基づく圧密現象が相当量含められていると推定される。そこで本研究では、先に森・赤木により提案された乱れに基づく圧密現象の評価式を適用することにより、開削工事によって乱れを生じた地盤に発生する圧密の最終沈下量を定量的に評価することを試みた。

2. せん断変形で生じた乱れに基づく圧密現象

ここにいう乱れとは、地盤が何らかの作用を受け、せん断変形が生じた場合に、粘土の骨格構造が変化すると伴に粘土骨格の有効応力が低下し、その力学的特性が変わることを示す。したがて、この乱れにおいて低下した有効応力がせん断前と同じ土被り圧のもとで回復していく過程において圧密沈下が発生することになる。このようにして生じる圧密現象を評価する為、森・赤木はせん断ひずみ(軸ひずみ) $\epsilon_a(\%)$ を用いて有効応力の低下分 σ'_s 、および乱れを受けた後の圧密過程で発揮される体積弾性係数 K_s を式(1)および(2)のように提案している。^{1),2)}ここに σ'_s は初期平均圧密有効応力、 m_{vo} はせん断前の体積圧縮係数である。また α はせん断変形時の乱れやすさ³⁾関係するパラメータ γ の逆数であり、この γ は鋭敏比 S_c および塑性指数 I_p を用いて式(3)のように表わされる。

$$\sigma'_s = \frac{\epsilon_a}{\alpha + \epsilon_a} \cdot \sigma'_o \quad (1)$$

$$K_s = \frac{1 + 1.5 \epsilon_a}{1 + \epsilon_a} \cdot \frac{1}{m_{vo}} \quad (2)$$

$$\gamma = 0.23 \cdot I_p^{0.4} \cdot \sqrt{S_c} \quad (3)$$

3. 解析手法

まず逐次掘削を考慮した有限要素法により、飽和粘性土地盤において、幅12m深さ10mの開削施工を想定した場合に生じる即時的な変形および最大せん断ひずみ γ_{max} と非排水変形を仮定して計算した。この場合の設定条件として、土留め壁はYSP-II型の鋼矢板を用い、これを20mまで打設しているものとし、切羽は各段掘削直後に架構するものとしている。また、変形係数 E については各段階で一定として、次の段階に入れる前に応力ひずみ関係を双曲線関数で近似したDuncan-Changの式を用いて変化させた。次に、各地盤要素について求めた γ_{max} から σ'_s および K_s を求めることがあるが、式(1), (2)ではせん断ひずみと軸ひずみ ϵ_a を用いている為、これと γ_{max} に変換する必要がある。今、非排水状態で体積変化は生じないものと仮定し、ボアソン比を0.5とすれば、 $m_{vo} = 1.5 \epsilon_a$ となり、したがって σ'_s および K_s は式(1), (2)のように表わされる。こうして求めた σ'_s および K_s から、土留め壁背面で要素を鉛直方向に重ねた土柱が一次元的に圧密するものとして最終圧密沈下量 S_c を式(4)より算定した。ここに H_i は土柱を構成する各地盤要素の厚さであり、これは同じくその個数である。尚、地盤に関する主な入力データを表1のとおりである。

4. 解析結果

表1 地盤に関する入力データ

(1)掘削による解放応力を等価節点力として土留め壁面に作用させた場合	$E_o(tf/m^2)$	ν	$\gamma(tf/m^2)$	$\sigma'_s(tf/m^2)$	S_c	I_p	a	$m_{vo}(m^3/tf)$
27.02+140.0	0.475	1.60	0.402	20.0	20.0	20.0	5.31	$\frac{0.434}{(1+\epsilon)} \sigma'_o$

(*)この m_{vo} は C_c と I_p の関係を塑性図のA線と大阪チャウ種粘土の C_c と I_p の関係式⁴⁾より求め、 $\sigma'_o = 4.0(tf/m^2)$ のときの関係比 $\alpha = 2.0$ として求めている。

図1, 図2, 図3は、各々切羽を2m間隔で4段架構した場合の最大せん断ひずみ $\gamma_{max}(\%)$ の分布、乱れによる有効応力の低下分 $\sigma'_s(tf/m^2)$ の分布、および土留め壁背面地盤の地表面沈下の発生状況を示したものである。図1にすれば、 γ_{max} の等高線は矢板根入れ端部より扇形に広がっており、乱れがこのような形で地盤に生じていると考えられる。これに対し、図2によれば、 σ'_s の等高線は γ_{max} の分布形状をつぶしたような形になっている。これは式(1)あるいは(1)'を見るとわかるように、初期平均圧密有効応力 σ'_o が正規圧密地盤であることから σ'_s との関係上になっている為に、その影響が大きくなっているものと思われる。つまり、たとえ等しいせん断ひずみを受けたとしても、それが深い位置である程有効応力の低下が大きくなり、乱れの影響が顕著にならと言える。次に図3を見ると、乱れの大きい矢板から8m以内の範囲では、乱れによる圧密沈下量が約5cmとなり、即時沈下量の倍以上

となっている。それに伴い、即時・圧密の双方を加えた沈下曲線のピークが即時沈下曲線のそれと比べて矢板方向へ移動している。すなはち土留め壁面の変化土量に対する各沈下現象に伴う地表面の変化土量の割合を計算すると、即時沈下のみの場合約85%であるのに対し、それに圧密によるものを加えた場合には約120%となる。このことからも、乱れに基づく圧密現象において地表面の過大な変形が生じることがわかる。

(2) 土留め壁面に強制変位を与えた場合

図4は矢板に強制変位を与えることによって得られたその変形形状の違いによる各沈下曲線の相違を示している。ここにいう強制変位とは、矢板を任意に仮定した二次関数形状に強制的に変位させることである。ここではこの関数として、図4中に示してあるように(a) 地表面に矢板の最大変位の位置がくるように選んだ二次関数【I型】、(b) 挖削底面4mの位置に矢板の最大変位がくるように選んだ三次関数と正弦関数を連続させたもの【II型】を考え、さらに両者の土留め壁面における変化土量が等しくなるように変位を与えてある。図4を見るとわかるように、即時沈下・圧密沈下ともにII型の強制変位を与えたものの方が最大沈下量は大きくなっている。特に、圧密沈下量については、II型の場合の γ_{max} の分布形状が図1に示したものとはほぼ同様であるのにに対し、I型の場合には、ちょうど図1を反転させたようになっており、土留め壁頂部から扇形に広がっている為、地表面付近の乱れが大きくなる。したがって前述したようにこれを0に変換した場合にI型はII型に比べ、乱れの影響があまりでないことにようるものと思われる。これらのことより、矢板の最大変位の位置が深い程、乱れの影響が大きく、それに伴って生じる圧密沈下も大きくなると推定される。

5. 結語

実際の測定例において、掘削中から掘削終了直後にかけての沈下曲線をみると、掘削終了後も沈下が継続する予想されるものが多く、さうに沈下量そのものを見ても、掘削行為による土留め壁の変形に伴う地山の移動によって生じる沈下現象とのみ外離できない程過大になる場合がある。また、今回の解析においては、その都合上、即時的な変形と乱れに基づく圧密変形を分離して取扱ったが、一般に実際の開削工事における掘削の期間といふのは、一年以上の長期にわたる場合が普通であり、ある程度乱れに基づく圧密現象が掘削工事と時期を同じくして生じているものと考えられる。これらのことを勘案すると、地表面に過大な沈下が生じた場合、乱れによる圧密現象がその一因となり得ることか、本研究の解析結果からも言えるようと思われる。いずれにせよ、地盤を乱すような行為をいかにして回避するかということは、即時的な沈下の防止につながることでもあり、設計・施工の各段階で充分に留意される必要がある。

参考文献

- 1) 松廣・赤木寛一;せん断変形で生じた乱れによる正規圧密粘土の圧密現象、第15回土質工学研究発表会、(1980)
- 2) 松廣・赤木寛一;土のせん断変形による乱れとともに圧密現象、第16回土質工学研究発表会、(1981)
- 3) 菊川・赤井・植下;大阪湾沖粘土の力学的特性、土と基礎、Vol. 6, No. 4, pp. 39~47

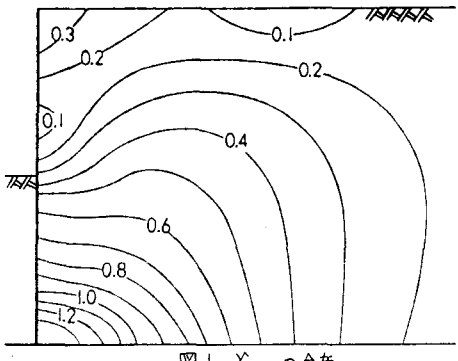


図1 γ_{max} の分布

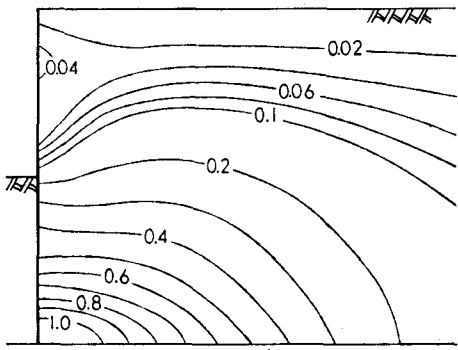


図2 O' の分布

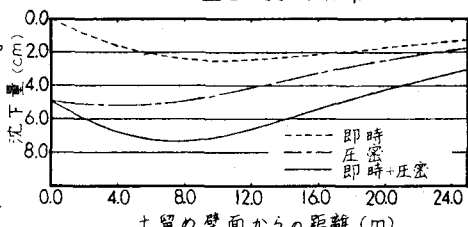


図3 地表面沈下の発生状況(1)

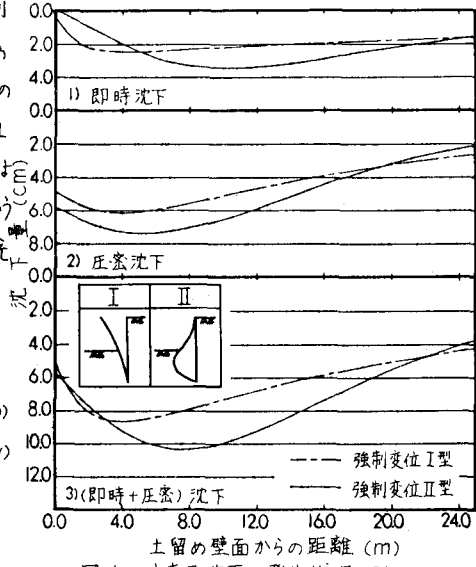


図4 地表面沈下の発生状況(2)